

## ИМПУЛЬСНОЕ ВОЗБУЖДЕНИЕ СОЛИТОНОВ В ЛЕГКОПЛОСКОСТНЫХ ФЕРРОМАГНЕТИКАХ

Ю. С. Кившарь, Б. А. Маломед

1. Как известно, магнитные системы являются существенно нелинейными физическими объектами и допускают существование нелинейных локализованных возбуждений — магнитных солитонов (МС) и доменных границ (ДГ) (см., например, [1]). В отличие от доменных структур, которые хорошо регистрируются как статические неоднородные распределения намагниченности, МС — существенно динамические возбуждения, и поэтому их экспериментальная регистрация весьма затруднена. Подавляющее большинство теоретических работ посвящено анализу солитонных решений нелинейных уравнений для вектора намагниченности [1]. В то же время, с точки зрения эксперимента [2, 3], весьма существенным оказывается изучение процесса возбуждения МС. При обсуждении условий, обеспечивающих генерацию МС импульсным пространственно-неоднородным полем, в работах [4, 5] использовались известные результаты метода обратной задачи рассеяния (МОЗР) [6]. Однако результаты МОЗР справедливы, строго говоря, только для задачи Коши, когда распределение поля намагниченности задано в начальный момент времени. Условиям эксперимента соответствует иная ситуация: локализованный импульс внешнего магнитного поля за малое время  $T$  выводит систему из состояния равновесия, а затем происходит распад возбужденного состояния системы на МС и ДГ. В настоящей работе мы представляем последовательное решение задачи об импульсном возбуждении солитонов на примере легкоплоскостного ферромагнетика.

2. Квазидвумерный легкоплоскостной ферромагнетик (ЛПФМ) типа  $\text{CuRb}_2\text{Cl}_2 \cdot 2\text{H}_2\text{O}$  [5] при наличии ориентированного в базисной плоскости внешнего постоянного поля  $\mathbf{H}$ , а также дополнительного импульсного поля  $h(x, t)$ , направленного под углом  $\chi$  к полю  $\mathbf{H}$ , описывается уравнением для угла поворота  $\varphi$  вектора намагниченности в избранной плоскости [1, 5]

$$\varphi_{tt} - \varphi_{xx} + \left(1 + \frac{h(x, t)}{H} \cos \chi\right) \sin \varphi = \frac{h(x, t)}{H} \sin \chi. \quad (1)$$

Здесь использованы безразмерные переменные: координата  $x$ , направленная вдоль оси анизотропии, и время  $t$  измеряются в единицах  $\sqrt{\alpha/H}$  и  $\omega_0^{-1}$  соответственно, где  $\alpha$  — обменная константа,  $\omega_0$  — щель в спектре спиновых волн. Импульсное поле  $h(x, t)$  берем в виде

$$h(x, t) = \begin{cases} h_0, & |x| < L/2, \\ 0, & |x| > L/2, \end{cases} \quad 0 < t < T, \quad h(x, t) = 0, \quad t > T \quad (2)$$

и рассматриваем естественную физическую ситуацию, когда до начала действия импульса ( $t < 0$ ) система находится в равновесном состоянии ( $\varphi = \varphi_t = 0$ ). Нетрудно убедиться, что во время действия импульса члены  $\varphi_{tt}$  и  $\varphi_{xx}$  в уравнении (1) велики, если  $T \ll 1$ . Тогда членом  $\sim \sin \varphi$  можно пренебречь и рассмотреть вначале задачу о линейном возбуждении ЛПФМ импульсным неоднородным полем. Эта задача легко решается при любом соотношении параметров  $L$  и  $T$ , и результатом является пространственное распределение полей  $\varphi$  и  $\varphi_t$  в момент окончания действия импульса  $t = T$ . При  $L \gg T$ , когда пространственный размер импульсного поля гораздо больше «размазки» импульса  $v_g T \sim T$  (где  $v_g$  — групповая скорость спиновых волн,  $v_g \leq v_{\max} \equiv 1$ ), вид функций  $\varphi(x, T)$  и  $\varphi_t(x, T)$  изображен на рисунке. Используя это распределение в качестве начального условия для полного уравнения (1) — уравнения синус-Гордон, — решаем пря-

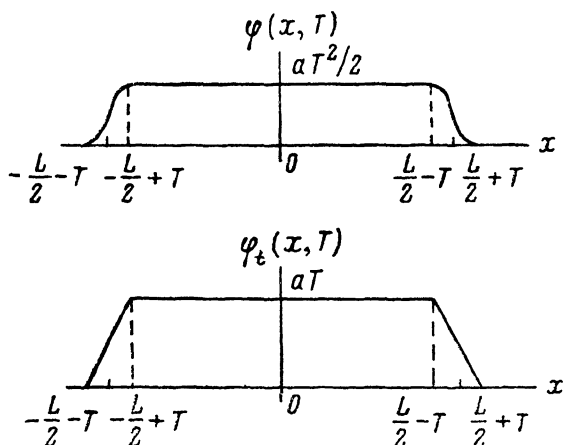
мую задачу рассеяния и определяем так называемые данные рассеяния для МОЗР [6]. При этом важную роль в МОЗР играет амплитуда рассеяния вперед  $A(\lambda)$ , нули которой прямо определяют параметры нелинейных возбуждений — МС и ДГ. В случае  $L \gg T$  амплитуда  $A(\lambda)$  имеет вид

$$A(\lambda) = e^{i\lambda L/2} \left\{ \cos zL - \frac{ik}{2z} \left( 1 + \frac{a^2 T^4}{24} \right) \sin zL \right\}, \quad (3)$$

где  $\lambda$  ( $0 \leq \lambda < \infty$ ) — спектральный параметр, используемый в МОЗР [6];  $k \equiv \lambda - 1/4$ ;  $z^2 \equiv k^2/4 + a^2 T^2/16$ ;  $a \equiv (h_0/H) \sin \gamma$ . Анализ решений уравнения  $A(\lambda) = 0$  позволяет заключить, что МС генерируются, если

$$aLT \geq 2\pi. \quad (4)$$

При увеличении параметра  $aLT$  МС распадается на две доменные границы противоположной полярности. Их начальные скорости находятся



Распределение полей  $\varphi(x, T)$  и  $\varphi_t(x, T)$  после действия импульсной силы в случае  $L \gg T$  (для  $T \ll 1$ ).

из соотношения  $v_{1,2} = \pm \sqrt{k_0^2 - 1}/|k_0|$ , где  $k_0$  — вещественное решение уравнения

$$z \operatorname{ctg} z = -\sqrt{\left(\frac{LaT}{4}\right)^2 - z^2} \left( 1 + \frac{a^2 T^4}{24} \right), \quad z = \frac{1}{2} L \sqrt{\left(\frac{aT}{2}\right)^2 - k_0^2}. \quad (5)$$

Анализ решений этого уравнения позволяет заключить, что пара ДГ рождается при условии  $aLT \geq F(L)$ , где  $F(L)$  — монотонно растущая функция, которая является решением трансцендентного уравнения, получающегося из (5) заменой  $z \rightarrow \frac{1}{4} \sqrt{F^2 - 4L^2}$ ,  $aTL \rightarrow F$ . При  $L \rightarrow 0$   $F(0) = 2\pi$ , при  $L \rightarrow \infty$   $F(L) = 2L + 4\pi^2/L$ , причем  $F(L) > 2L$  для всех  $L$ .

3. Точные аналитические результаты удается также получить в другом предельном случае, когда  $L \ll T \ll 1$ . При этом импульсное поле сосредоточено почти в одной точке образца, т. е.  $h(x, t) \approx h_0 L \delta(x) f(t)$ , где  $f(t) = \theta(t) - \theta(t - T)$ ;  $\theta(t)$  — ступенчатая функция Хэвисайда. В момент окончания действия импульсного поля конфигурация волновых полей  $\varphi$  и  $\varphi_t$  имеет вид

$$\varphi(x, T) = \frac{a}{2} \left[ -|x| + \frac{1}{2}|x+T| + \frac{1}{2}|x-T| \right], \quad \varphi_t(x, T) \equiv \varphi_T(x, T). \quad (6)$$

Решение прямой задачи рассеяния по схеме МОЗР с начальными условиями (6) оказывается в этом случае более громоздким и может быть доведено до конца только при  $k \ll T^{-1}$  (это ограничение не препятствует нахождению порогов возбуждения МС и ДГ). В результате имеем

$$A(\lambda) = e^{i\lambda T} \left[ \left( 1 - \frac{ikT}{2} \right) \cos \frac{aLT}{4} - \frac{2ik}{aL} \sin \frac{aLT}{4} \right].$$

Решение уравнения  $A(\lambda) = 0$  дает пороговое условие возбуждения МС

$$aLT \geq 2\pi, \quad (7)$$

а также ДГ

$$aLT \geq 2\pi + 4T/\pi. \quad (8)$$

Важно отметить, что условие (7) в точности совпадает с условием (4), несмотря на различные соотношения между параметрами импульса  $L$  и  $T$ . Условие (7) обобщается на случай генерации  $N$  солитонов следующим образом:  $aLT \geq 2\pi(2N-1)$ .

Помимо солитонов, импульсное магнитное поле генерирует также несолитонные возбуждения — спиновые волны, которые описываются в рамках МОЗР так называемым сплошным спектром. Используя результаты решения прямой задачи рассеяния в схеме МОЗР, можно оценить энергию  $E_{em}$ , содержащуюся в несолитонных возбуждениях (спиновых волнах) при импульсном возбуждении солитонов

$$E_{em} \sim \text{const}/L, \quad L \gg T, \quad E_{em} \sim \text{const}/T, \quad L \ll T. \quad (9)$$

Сравнивая (9) с энергией покоящейся ДГ ( $E=8$  в наших обозначениях), заключаем, что лишь относительно небольшая доля энергии импульса затрачивается на создание солитонов, а вся остальная энергия переходит в спиновые волны, причем эффективность возбуждения солитонов в первом случае ( $L \gg T$ ) существенно выше.

4. В рамках развиваемого нами подхода нетрудно учесть влияние диссипации (особенно важной для магнитных систем) на пороговые условия возбуждения МС. В результате условие (7) (или (4)) принимает следующий вид:

$$h_0 > (2\pi H/LT \sin \chi) (1 + \gamma T),$$

где  $\gamma$  — феноменологический параметр диссипативных потерь, выбранных для ЛПФМ в форме Гильберта.

Диссипативные потери не только влияют на порог возбуждения МС, но и меняют характер дальнейшей эволюции нелинейных возбуждений. Так, под действием диссипации МС затухает за время  $\sim \gamma^{-1}$ . Поскольку наряду с солитонами возбуждаются и спиновые волны, последние будут затруднять наблюдение МС. Для обеспечения стабилизации МС можно использовать параметрическую накачку, приложив на временах  $t \geq T$  в направлении поля  $H$  дополнительную переменную поле  $H_m \cos \omega t$  с частотой  $\omega$ , близкой к удвоенной собственной частоте  $\omega_0$  [7]. Простой анализ уравнений для параметров солитона позволяет заключить, что при

$$\gamma < H_m < \sqrt{\gamma^2 + (\omega_0 - \omega/2)^2} \quad (10)$$

солитоны стабилизируются накачкой. Правое неравенство в (10) противоположно условию параметрической неустойчивости спиновых волн. Следовательно, на временах  $t \gg \gamma^{-1}$  генерируемые импульсным полем спиновые волны обязательно затухнут, а в области приложения импульсного поля выделятся стабилизированные МС, которые будут давать заметный вклад в низкочастотное поглощение ЛПФМ.

Более полное изложение полученных выше результатов будет представлено в отдельной публикации.

Авторы признательны Б. А. Иванову, А. М. Косевичу, В. Л. Соболевой и Т. К. Соболевой за полезные обсуждения результатов работы.

#### Л и т е р а т у р а

- [1] Косевич А. М., Иванов Б. А., Ковалев А. С. Нелинейные волны намагниченности. Динамические и топологические солитоны. Киев: Наукова думка, 1983. 189 с.  
 [2] Калинык Б. А., Ковшиков Н. Г., Славин А. Н. Письма ЖЭТФ, 1983, т. 38, № 7, с. 343—347.

- [3] Горнаков В. С., Дедух Л. М., Никитенко В. И. Письма ЖЭТФ, 1984, т. 39, № 5, с. 199—202.  
 [4] Hackenbracht D., Schuster H. G. Z. Phys. B, 1981, vol. 42, N 1, p. 367—371.  
 [5] Любчанский И. Л., Соболев В. Л., Соболева Т. К. ФНТ, 1987, т. 13, № 10, с. 1061—1066.  
 [6] Захаров В. Е., Манаков С. В., Новиков С. П., Пятаевский Л. П. Теория солитонов. Метод обратной задачи. М.: Наука, 1980. 320 с.  
 [7] Богдан М. М., Косевич А. М., Манжос И. В. ФНТ, 1985, т. 12, № 5, с. 991—993.

Физико-технический институт  
 низких температур АН УССР  
 Харьков

Поступило в Редакцию  
 6 июля 1988 г.

УДК 538.221 : 534.22

Физика твердого тела, том 31, в. 2, 1989  
 Solid State Physics, vol. 31, № 2, 1989

## РЕЛАКСАЦИЯ НЕОДНОМЕРНОСТЕЙ НА ДВИЖУЩЕЙСЯ ДОМЕННОЙ ГРАНИЦЕ В ОРТОФЕРРИТЕ ИТТРИЯ

М. В. Четкин, В. В. Лыков, С. В. Гомонов, Ю. Н. Курбатова

При переходе на сверхзвуковые скорости доменная граница (ДГ) слабых ферромагнетиков перестает быть одномерной — на ней появляются лидирующие участки [1]; в однородных образцах и в однородном вдоль доменной границы магнитном поле на ней возникают строго периодические структуры [2]. Период, время развития и релаксации структур

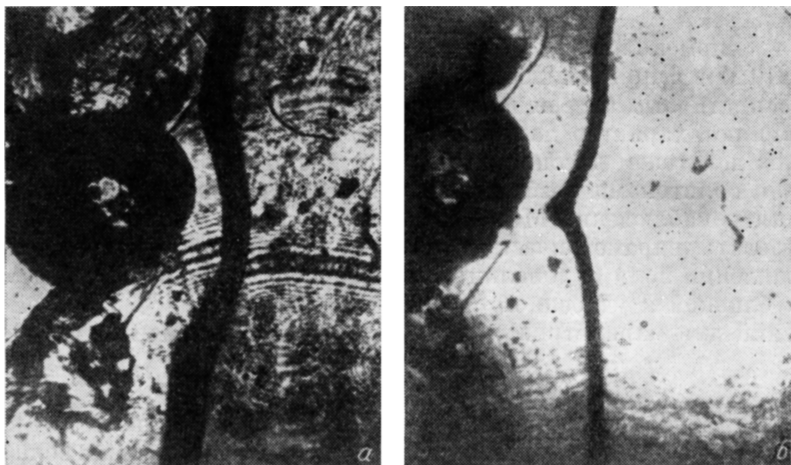


Рис. 1. Двукратная высокоскоростная фотография движущейся доменной границы после ее прохождения области локального ускоряющего (а) и замедляющего (б) магнитных полей.

зависят от величины внешнего магнитного поля, в котором движется доменная граница. Представляет интерес исследование процессов релаксации неперiodических неоднородностей на ДГ при любой скорости ее движения, чему и посвящена данная работа.

Одиночная прямолинейная ДГ в пластинке ортоферрита иттрия толщиной 100 мкм создавалась с помощью внешнего магнитного поля, перпендикулярного поверхности образца с градиентом 260 Э/см. Эксперимент проводился при комнатной температуре. Движение ДГ происходило под действием управляющего магнитного поля, однозначно определяю-